

Appendix 3.2.1(1) スクレーパープレートを用いた各調査箇所についての土壌中における放射性セシウムの深度分布

表1 スクレーパープレートによる各調査箇所の重量緩衝深度  $\beta$  (g/cm<sup>2</sup>)  
(重量緩衝深度：放射能濃度が地表面の 1/e (≒1/2.7) になる土壌深度)

台風期前 (平成 24 年 8 月末)				台風期後 (平成 24 年 11 月末)			
メッシュ ID	緯度	経度	重量緩衝深度 $\beta$ (g/cm <sup>2</sup> )	メッシュ ID	緯度	経度	重量緩衝深度 $\beta$ (g/cm <sup>2</sup> )
000N000	37.4513	141.0078	0.85	000N000	37.4513	141.0078	0.79
000N020	37.4493	140.7704	×	000N020	37.4484	140.7706	1.3
000N030	37.4372	140.6433	0.73	000N030	37.4373	140.6431	1.1
000N040	37.4422	140.5284	2.6	000N040	37.4422	140.5285	2.0
005N000	37.4944	141.0001	0.57	005N000	37.4705	141.0047	0.57
005N050	37.4910	140.4027	5.9	005N050	37.4911	140.4028	×
005N060	37.4799	140.2776	0.94	005N060	37.4798	140.2776	1.1
005S025	37.3879	140.7301	1.9	005S025	37.3879	140.7301	3.2
005S035	37.3964	140.6023	0.75	005S035	37.3964	140.6022	1.7
005S040	37.3880	140.5279	1.2	005S040	37.3880	140.5278	2.3
005S065	37.3918	140.2356	×	005S065	37.3918	140.2355	0.58
010N005	37.5277	140.9712	1.3	010N005	37.5277	140.9713	1.6
010N020	37.5223	140.7777	1.0	010N020	37.5223	140.7777	0.92
010S005	37.3664	140.9716	0.80	010S005	37.3665	140.9714	0.94
010S050	37.3494	140.4030	1.3	010S050	37.3494	140.4031	1.5
015N035	37.5646	140.6047	0.36	015N035	37.5463	140.6111	2.6
015N040	37.5612	140.5305	0.37	015N040	37.5610	140.5306	0.63
015N060	37.5566	140.2582	1.5	015N060	37.5567	140.2582	2.2
015S020	37.3082	140.7869	×	015S020	37.3083	140.7870	×
015S035	37.3104	140.5980	1.9	015S035	37.3103	140.5980	2.5
015S045	37.3111	140.4848	1.5	015S045	37.3110	140.4850	2.8
015S055	37.3102	140.3552	×	015S055	37.3080	140.3545	×
015S070	37.3163	140.1367	0.59	015S070	37.3161	140.1368	1.3
020N030	37.6108	140.6567	1.2	020N030	37.6108	140.6567	1.2
020N055	37.6128	140.3440	1.1	020N055	37.6128	140.3441	1.1
020N075	37.6106	140.1196	0.55	020N075	37.6106	140.1196	0.80
020S065	37.2822	140.2153	1.2	020S065	37.2822	140.2151	1.7
025N000	37.6516	141.0097	0.87	025N000	37.6516	141.0097	1.0
025N045	37.6458	140.4814	1.1	025N045	37.6459	140.4815	1.1
025S015	37.2286	140.8448	5.7	025S015	37.2286	140.8449	1.1
025S025	37.2368	140.7280	1.2	025S025	37.2368	140.7279	1.0

台風期前 (平成 24 年 8 月末)				台風期後 (平成 24 年 11 月末)			
メッシュ ID	緯度	経度	重量緩衝深度 $\beta$ (g/cm <sup>2</sup> )	メッシュ ID	緯度	経度	重量緩衝深度 $\beta$ (g/cm <sup>2</sup> )
025S035	37.2185	140.5994	2.3	025S035	37.2185	140.5994	1.1
025S040	37.2267	140.5213	0.98	025S040	37.2266	140.5213	1.1
025S065	37.2164	140.2170	1.2	025S065	37.2164	140.2170	2.3
030S000	37.1990	141.0015	1.5	030S000	37.1989	141.0015	1.5
030S055	37.1927	140.3417	2.4	030S055	37.1931	140.3411	1.2
030S075	37.2047	140.1185	0.33	030S075	37.2046	140.1185	0.46
035N000	37.7115	141.0113	0.59	035N000	37.7115	141.0113	×
035N010	37.7306	140.8968	3.5	035N010	37.7306	140.8969	2.2
035N035	37.7224	140.5943	1.5	035N035	37.7224	140.5943	1.3
035N045	37.7282	140.4653	0.94	035N045	37.7282	140.4653	1.5
035N055	37.7224	140.3644	1.3	035N055	37.7225	140.3644	0.91
035S000	37.1454	141.0024	0.93	035S000	37.1453	141.0024	2.0
035S010	37.1356	140.9049	2.0	035S010	37.1355	140.9049	3.1
035S035	37.1389	140.5979	1.3	035S035	37.1389	140.5981	0.99
035S045	37.1468	140.4773	2.6	035S045	37.1468	140.4773	4.1
035S050	37.1379	140.3923	0.69	035S050	37.1378	140.3923	×
040N005	37.7733	140.9808	×	040N005	37.7605	140.9480	2.1
040N050	37.7788	140.4074	1.5	040N050	37.7788	140.4073	1.5
040S025	37.1168	140.7235	2.2	040S025	37.1168	140.7235	1.6
040S065	37.1005	140.2247	0.74	040S065	37.1005	140.2248	0.95
040S075	37.1188	140.1170	1.2	040S075	37.1188	140.1170	1.7
045N010	37.8051	140.8956	2.7	045N010	37.8051	140.8955	1.3
045N020	37.8092	140.7737	1.8	045N020	37.8092	140.7737	1.2
045N030	37.8102	140.6512	3.4	045N030	37.8078	140.6467	×
045N045	37.8075	140.4601	1.3	045N045	37.8055	140.4517	2.0
045S010	37.0567	140.9100	0.97	045S010	37.0568	140.9101	1.6
045S035	37.0549	140.5858	0.58	045S035	37.0548	140.5859	0.73
045S040	37.0434	140.5093	1.9	045S040	37.0432	140.5091	2.0
045S055	37.0653	140.3480	4.3	045S055	37.0550	140.3453	0.96
050N055	37.8384	140.3728	1.2	050N055	37.8384	140.3727	0.53
050S025	37.0320	140.7160	1.7	050S025	37.0320	140.7160	2.1
050S060	37.0309	140.2759	2.8	050S060	37.0308	140.2758	2.5
055N010	37.9033	140.8764	2.1	055N010	37.9033	140.8764	4.0
055N020	37.8898	140.7708	1.5	055N020	37.8897	140.7708	1.4
055N035	37.8942	140.5868	1.7	055N035	37.8942	140.5868	3.3
055N045	37.8777	140.4938	0.61	055N045	37.8776	140.4941	×
055S020	36.9999	140.7981	1.4	055S020	36.9998	140.7981	1.3
055S030	36.9653	140.6594	1.1	055S030	36.9653	140.6595	1.6

台風期前 (平成 24 年 8 月末)				台風期後 (平成 24 年 11 月末)			
メッシュ ID	緯度	経度	重量緩衝深度 $\beta$ (g/cm <sup>2</sup> )	メッシュ ID	緯度	経度	重量緩衝深度 $\beta$ (g/cm <sup>2</sup> )
055S050	36.9806	140.4012	0.80	055S050	36.9807	140.4013	1.3
060N035	37.9493	140.5998	1.2	060N035	37.9494	140.5998	1.4
060S010	36.9462	140.9112	0.88	060S010	36.9462	140.9112	0.47
060S040	36.9436	140.5218	7.7	060S040	36.9436	140.5218	7.3
060S070	36.9433	140.1358	×	060S070	36.9433	140.1358	0.77
065N010	37.9687	140.8798	×	065N010	37.9687	140.8798	10
065N020	37.9790	140.7727	1.4	065N020	37.9789	140.7728	2.8
065N040	37.9600	140.5193	0.95	065N040	37.9600	140.5193	1.2
065S020	36.8866	140.7810	0.94	065S020	36.8866	140.7808	2.0
065S030	36.8814	140.6546	0.73	065S030	36.8813	140.6545	4.8
070N040	38.0236	140.5435	1.5	070N040	38.0236	140.5436	0.87
070S060	36.8700	140.3043	1.1	070S060	36.8700	140.3044	1.7
075N025	38.0545	140.7083	1.7	075N025	38.0545	140.7082	3.0
075S025	36.8119	140.7193	0.98	075S025	36.8118	140.7193	1.1
075S030	36.8075	140.6463	1.6	075S030	36.8075	140.6463	2.1
090S025	36.6934	140.7071	0.88	090S025	36.6933	140.7072	0.94

※ 「-」は未採取箇所、「×」は攪拌があったと判断されたため重量緩衝深度  $\beta$  (g/cm<sup>2</sup>) の解析を実施しなかった採取箇所

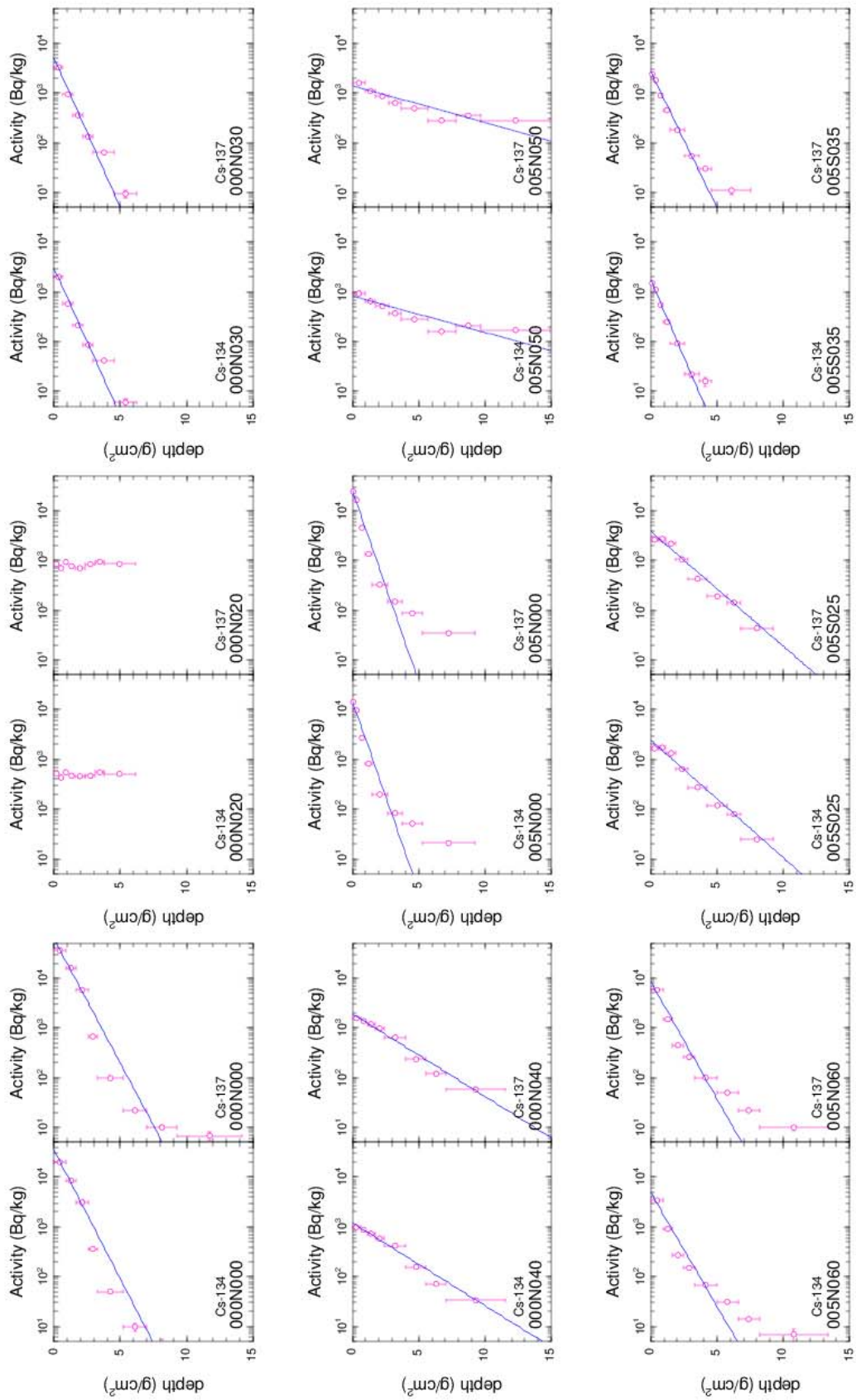


図1 各調査箇所の土壌中における放射性セシウムの深度分布-台風期前 (1)

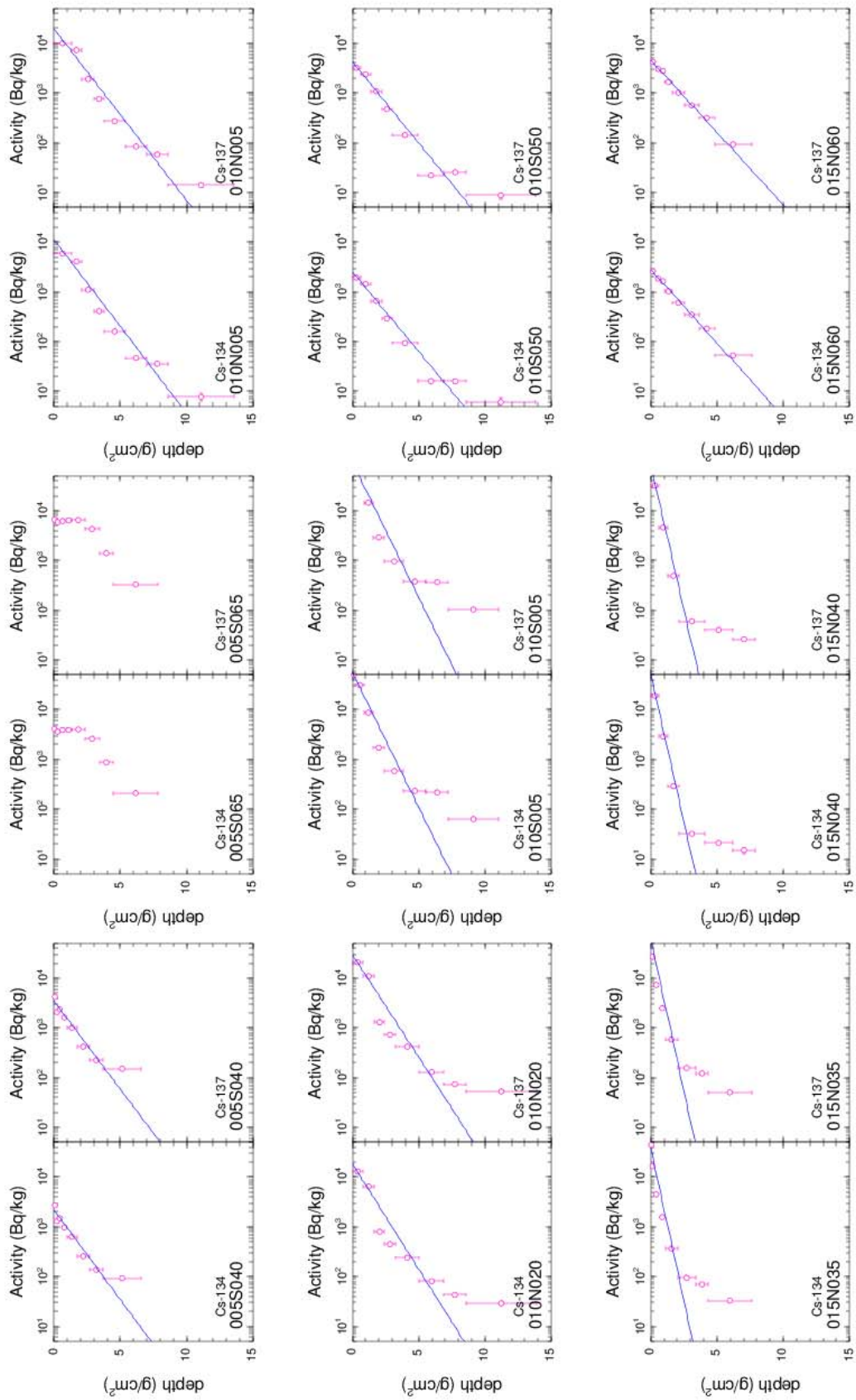


図1 各調査箇所の土壌中における放射性セシウムの深度分布-台風期前 (2)

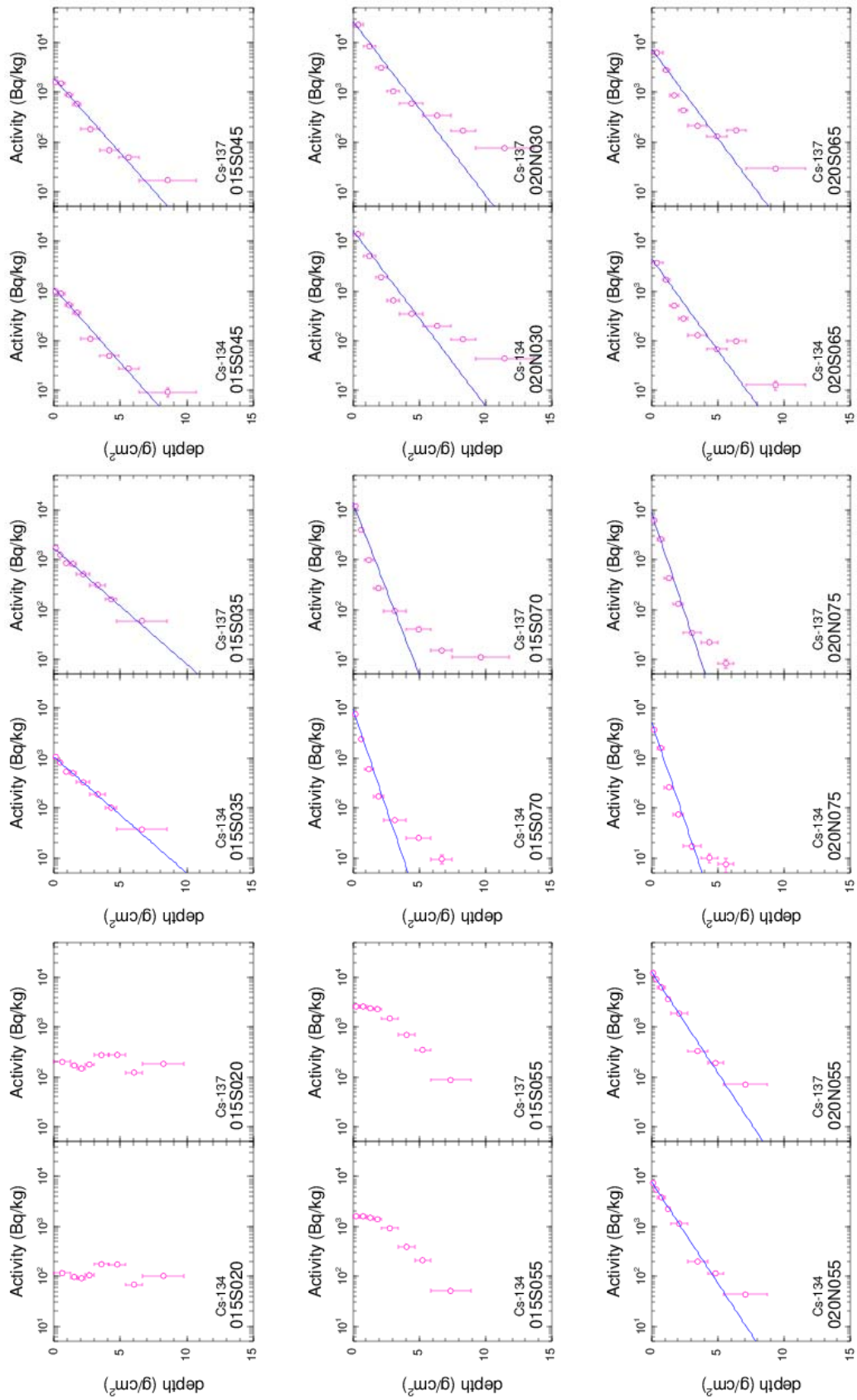


図1 各調査箇所の土壌中における放射性セシウムの深度分布-台風期前 (3)

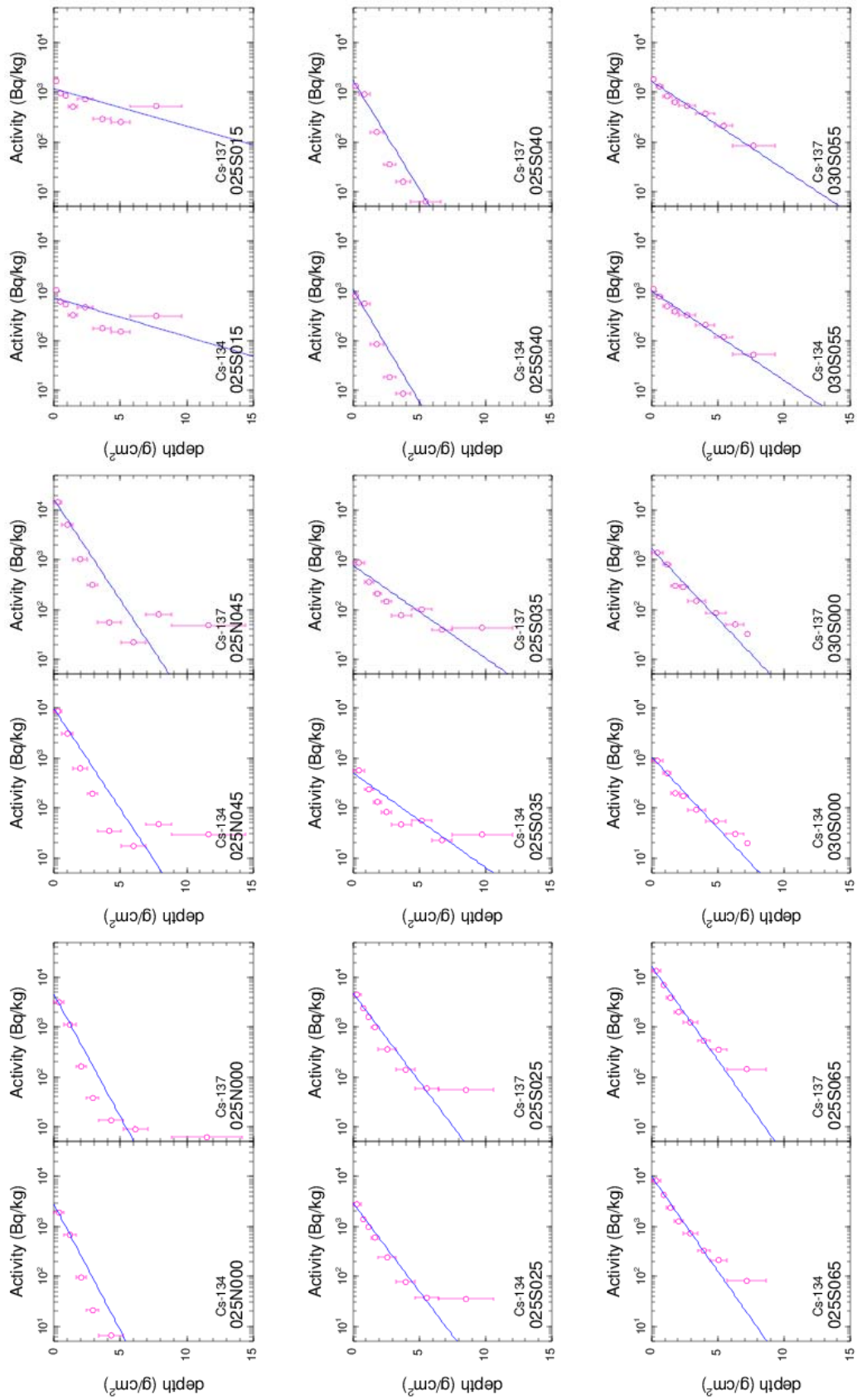


図1 各調査箇所の土壌中における放射性セシウムの深度分布-台風期前 (4)



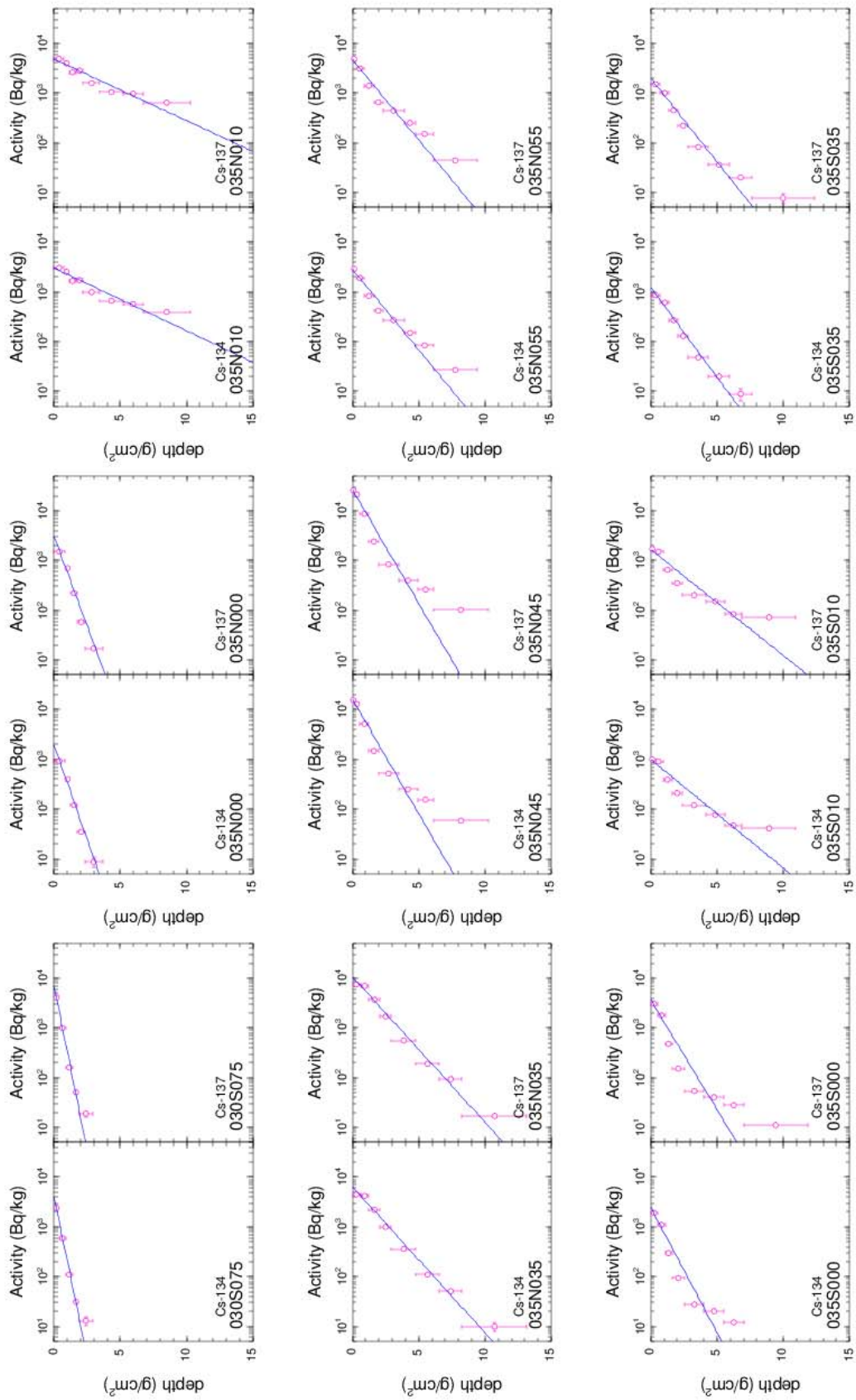


図1 各調査箇所の土壌中における放射性セシウムの深度分布-台風期前 (5)



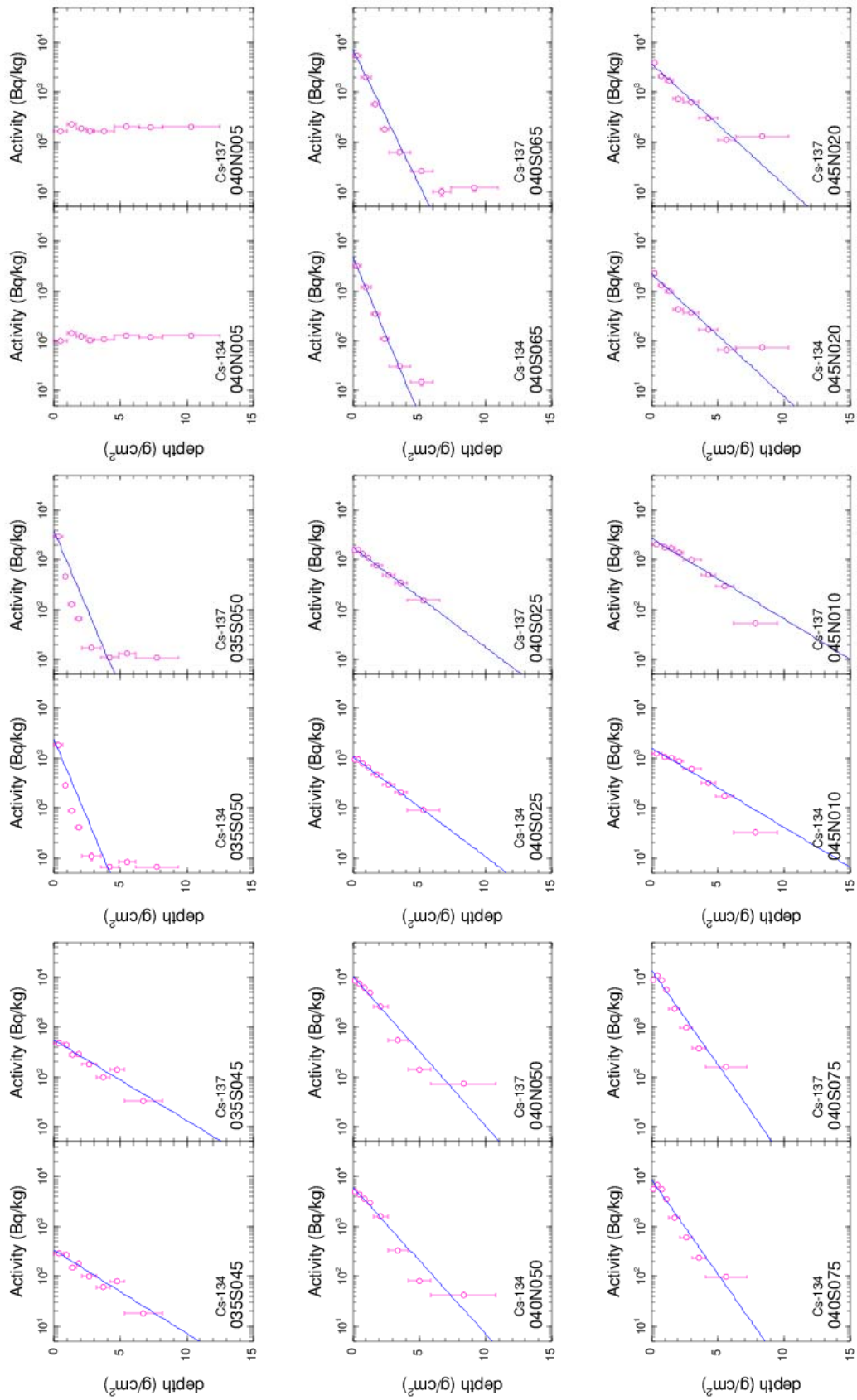


図1 各調査箇所の土壌中における放射性セシウムの深度分布-台風期前 (6)

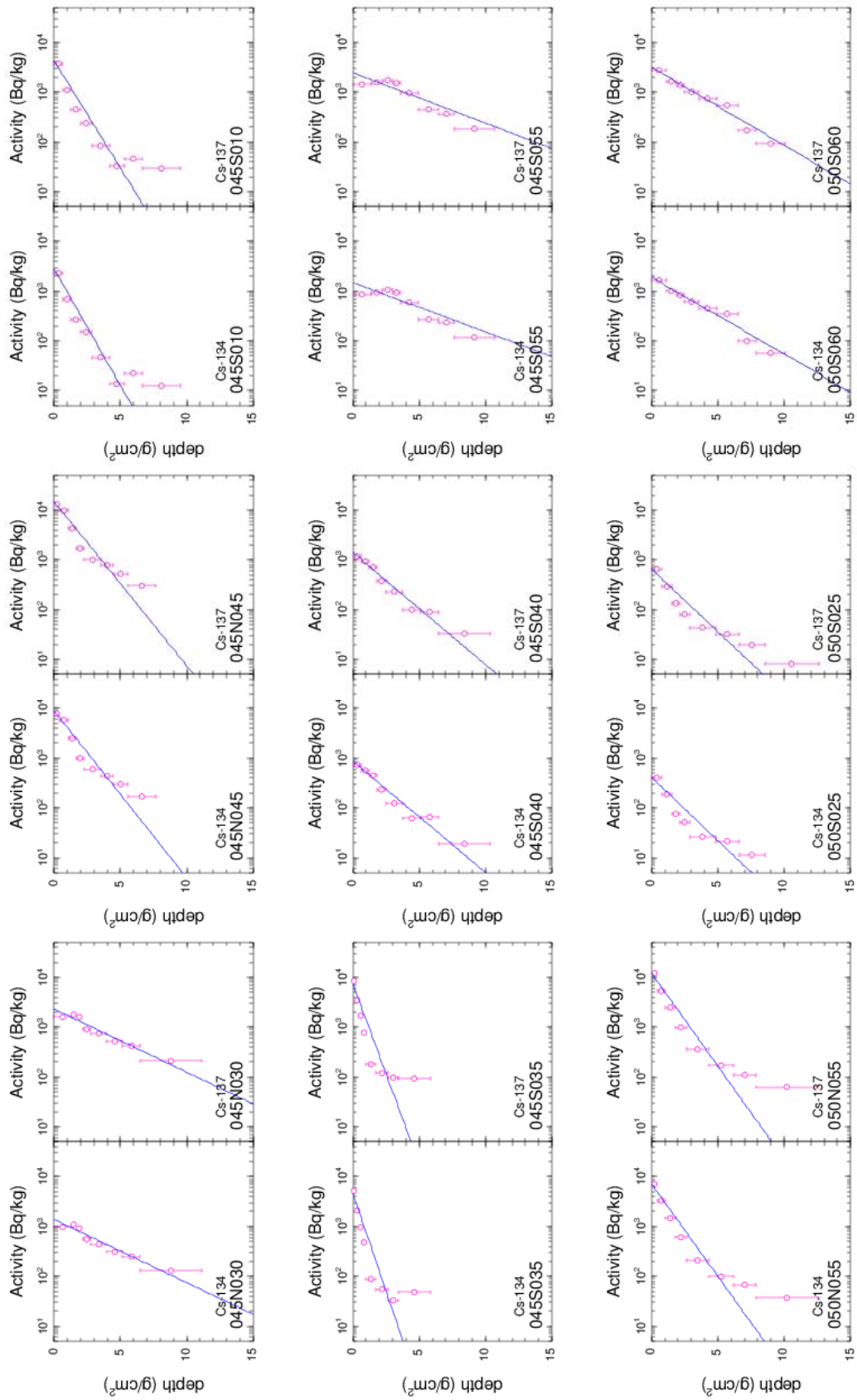


図1 各調査箇所の土壌中における放射性セシウムの深度分布-台風期前 (7)

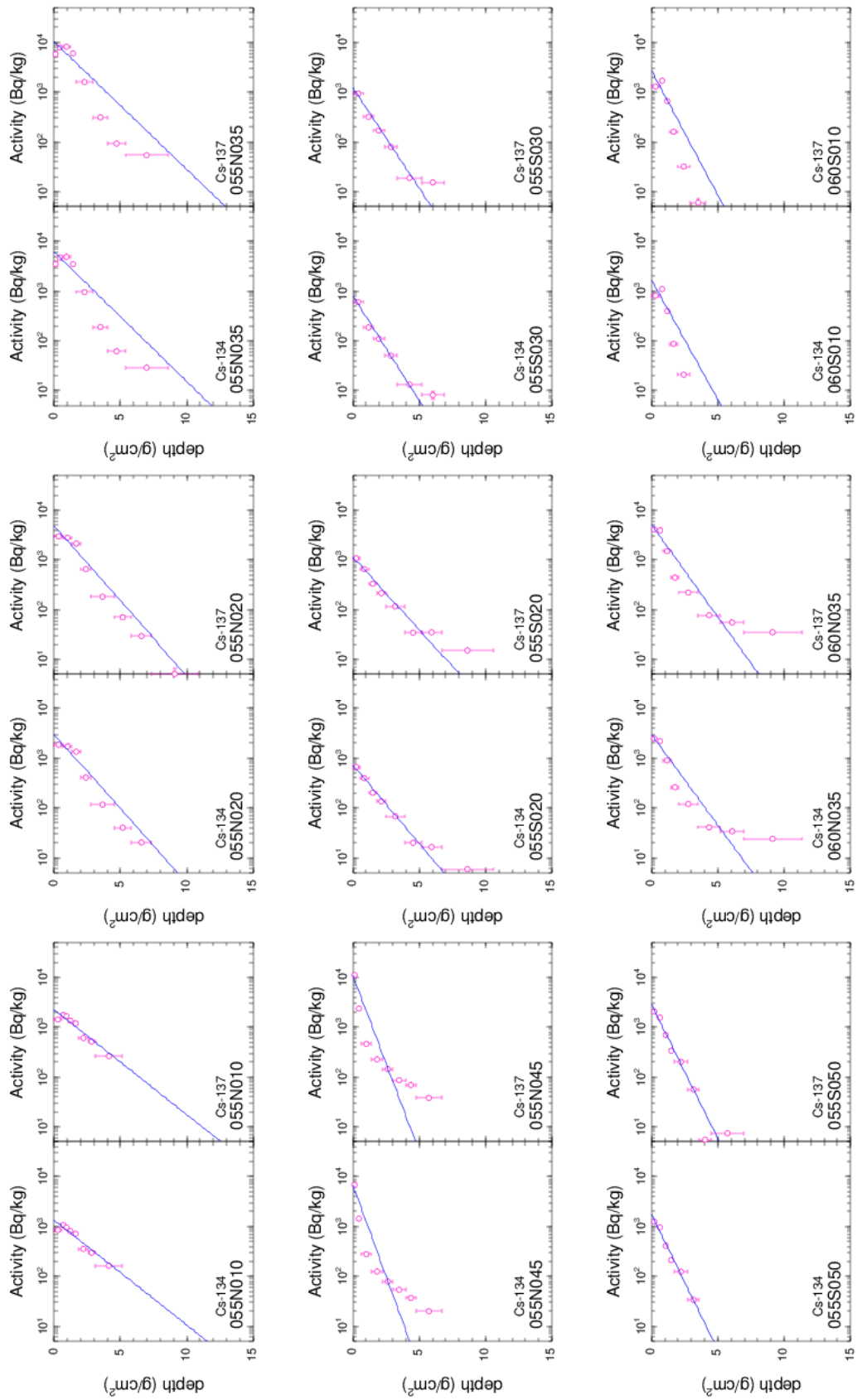


図1 各調査箇所の土壌中における放射性セシウムの深度分布-台風期前 (8)

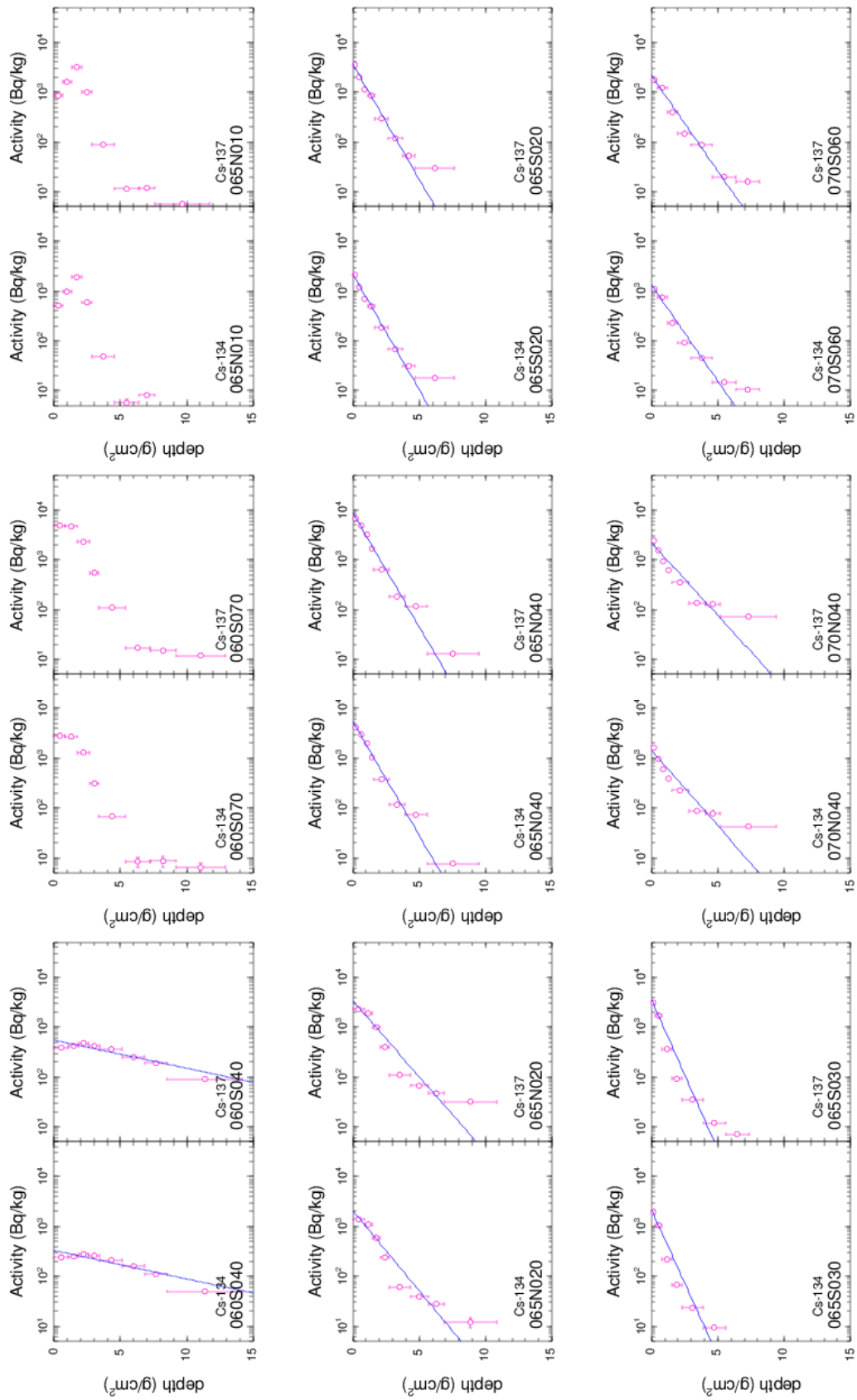


図1 各調査箇所の土壌中における放射性セシウムの深度分布-台風期前 (9)

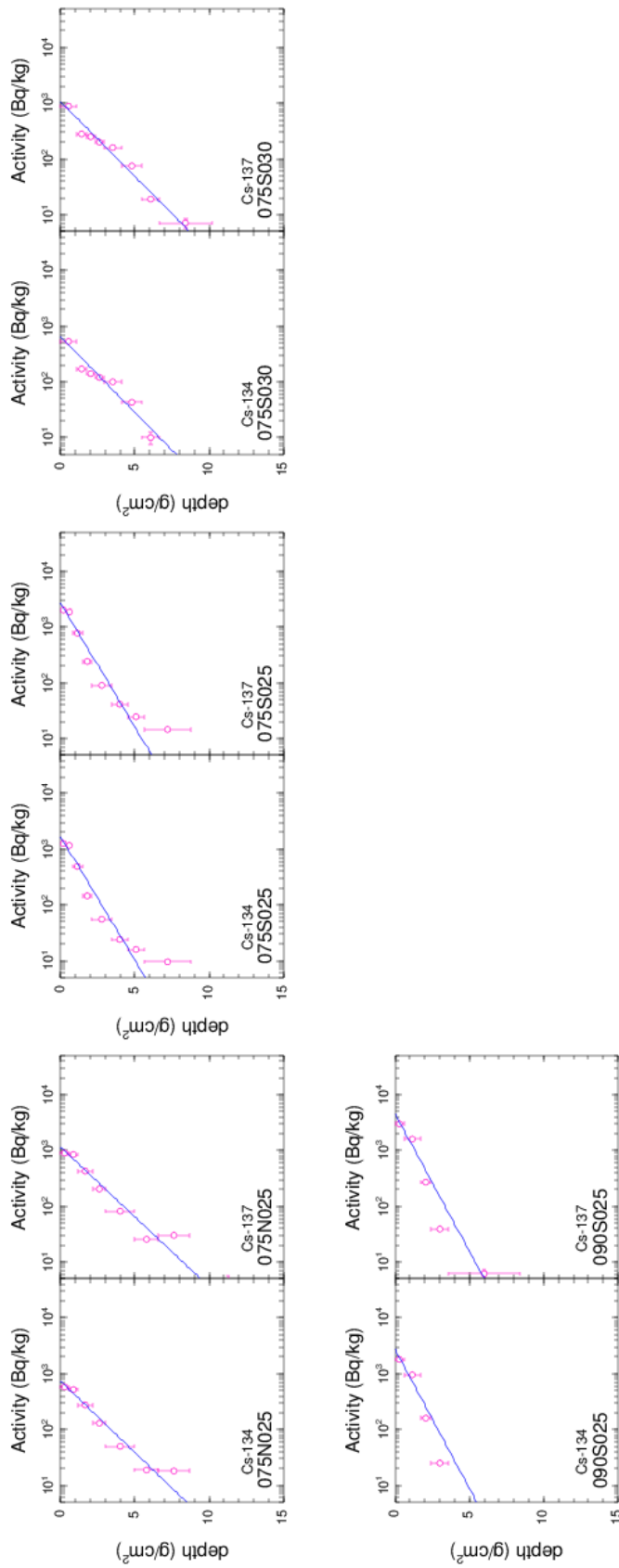


図1 各調査箇所の土壌中における放射性セシウムの深度分布-台風期前 (10)

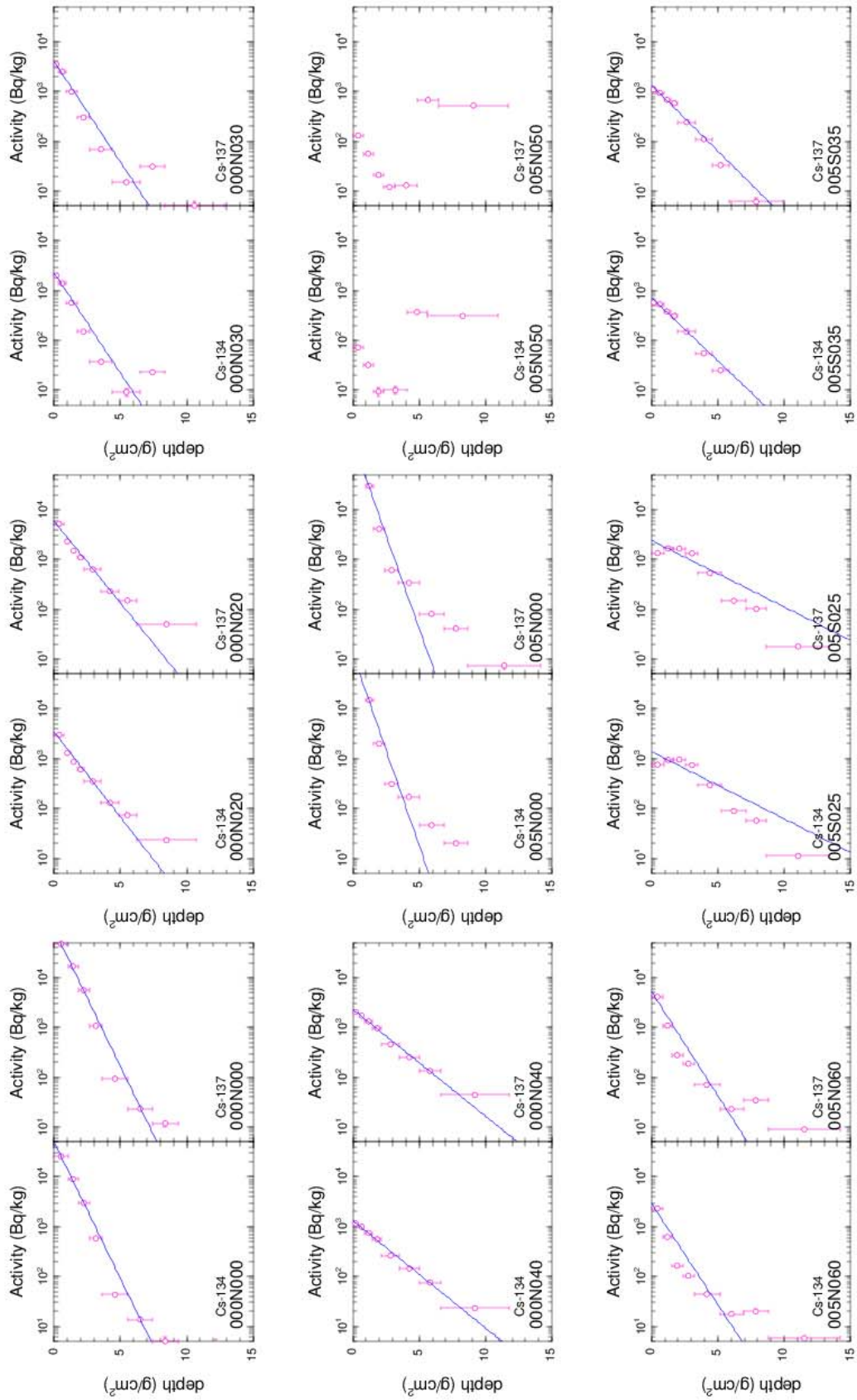


図2 各調査箇所の土壌中における放射性セシウムの深度分布-台風期後 (1)



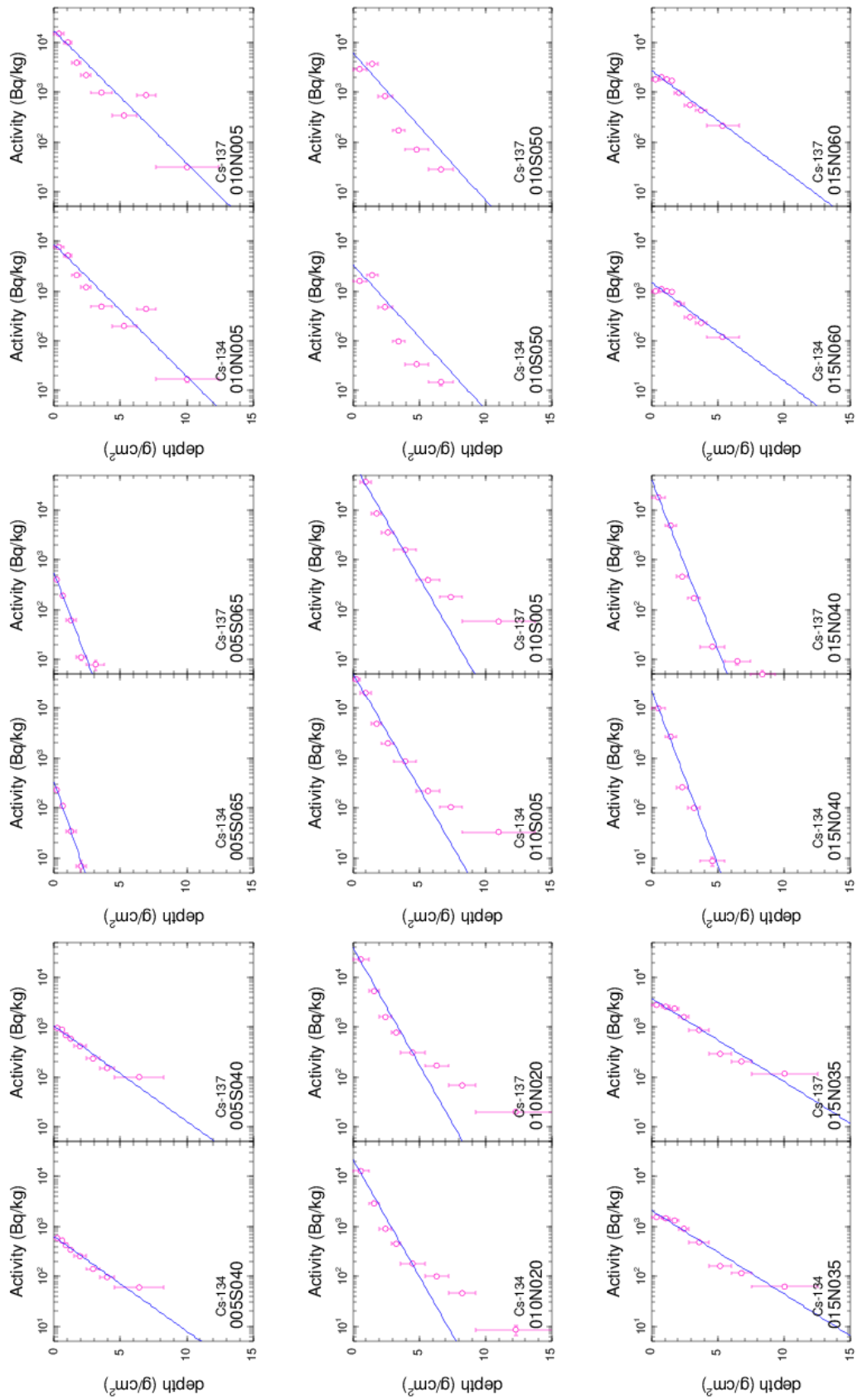


図2 各調査箇所の土壌中における放射性セシウムの深度分布-台風期後 (2)

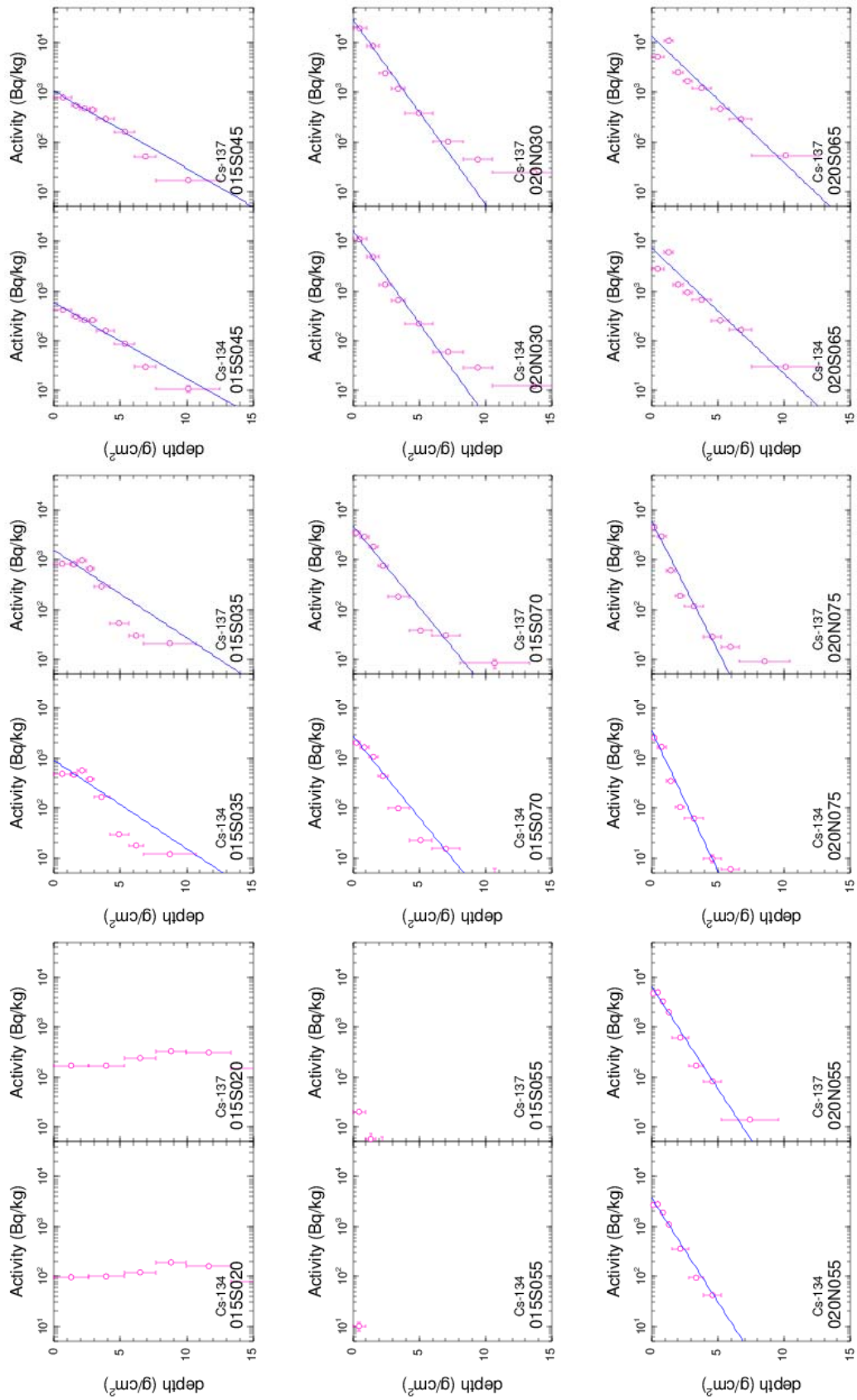


図2 各調査箇所の土壌中における放射性セシウムの深度分布-台風期後 (3)

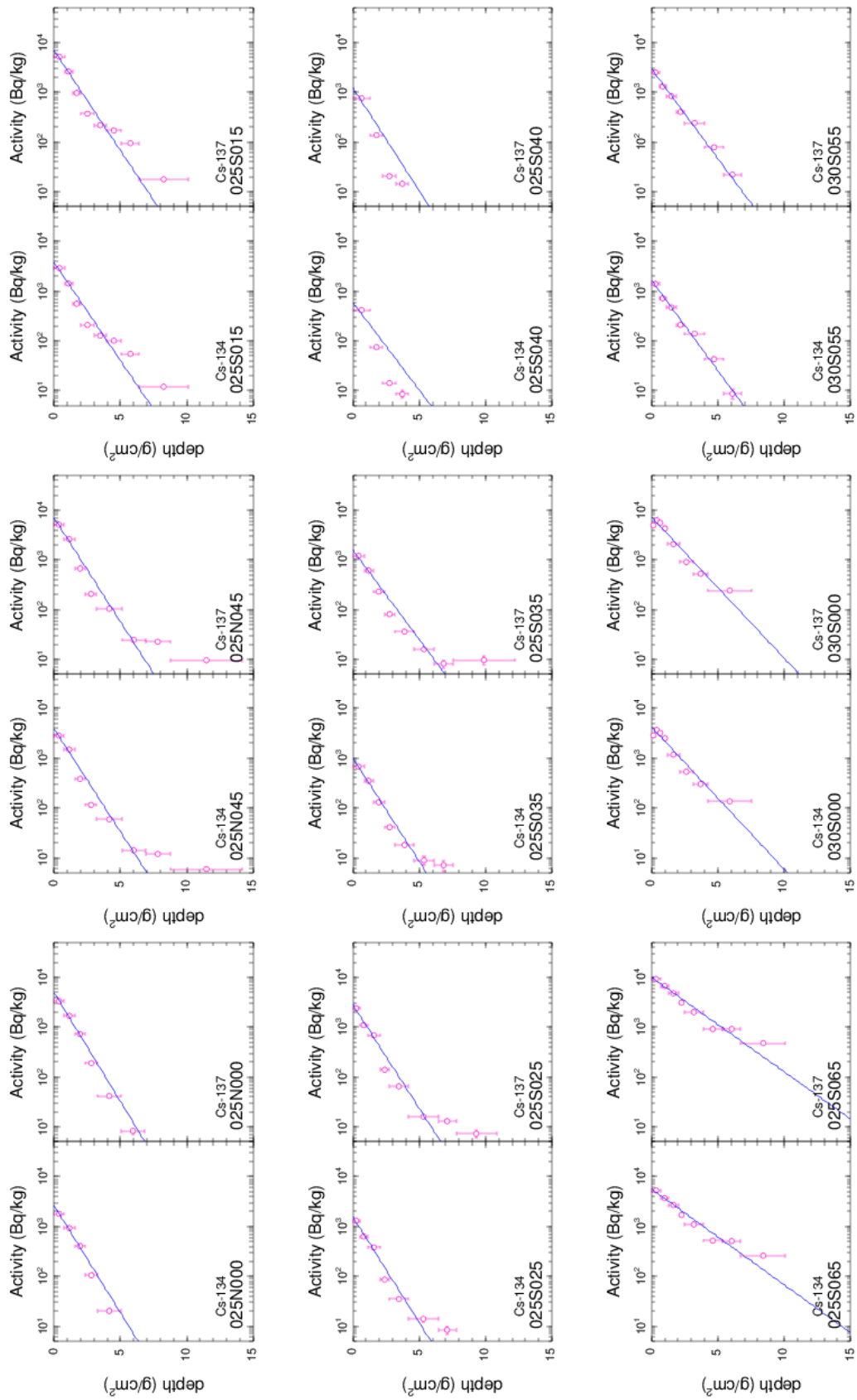


図2 各調査箇所の土壌中における放射性セシウムの深度分布-台風期後 (4)

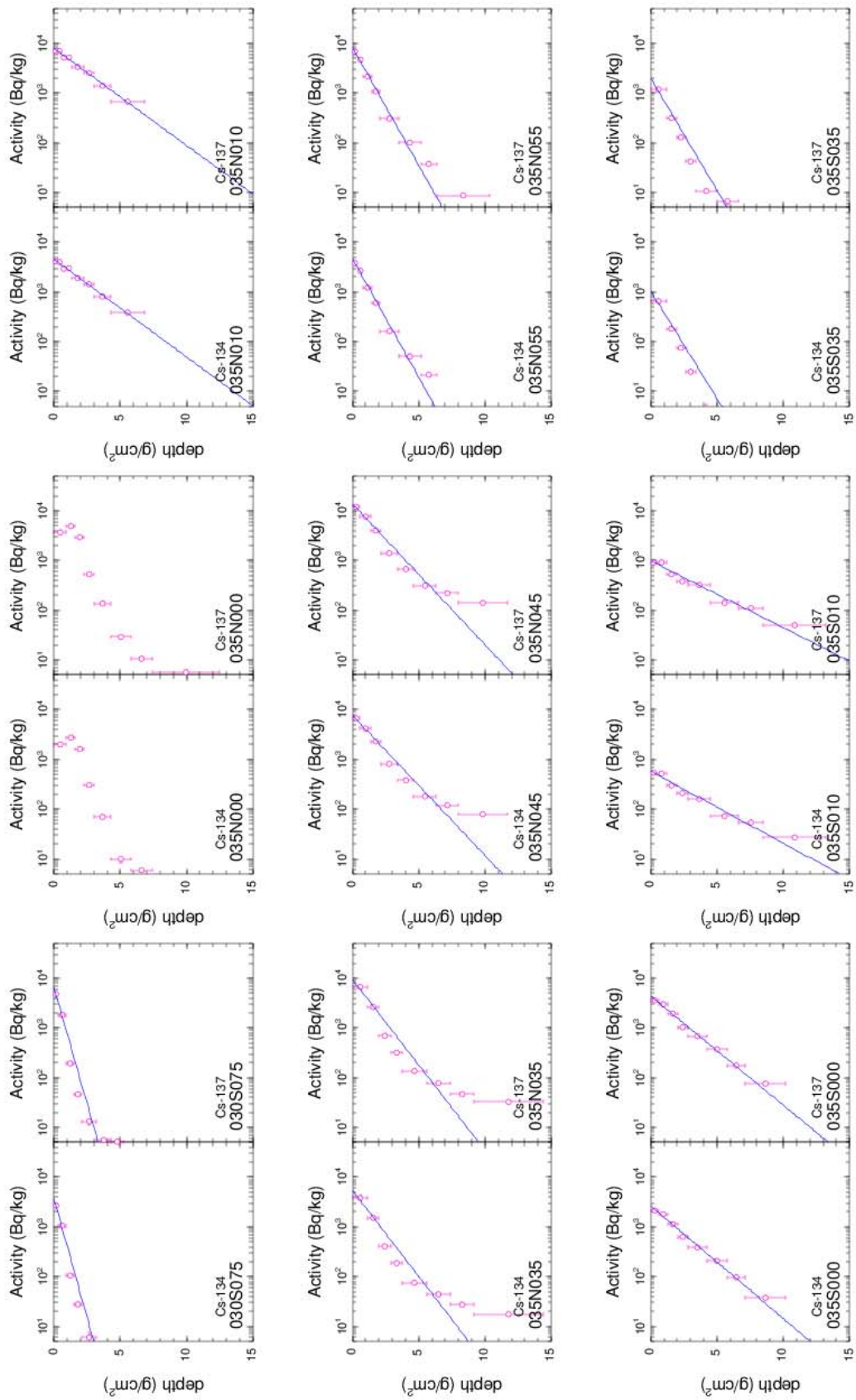


図2 各調査箇所の土壌中における放射性セシウムの深度分布-台風期後 (5)

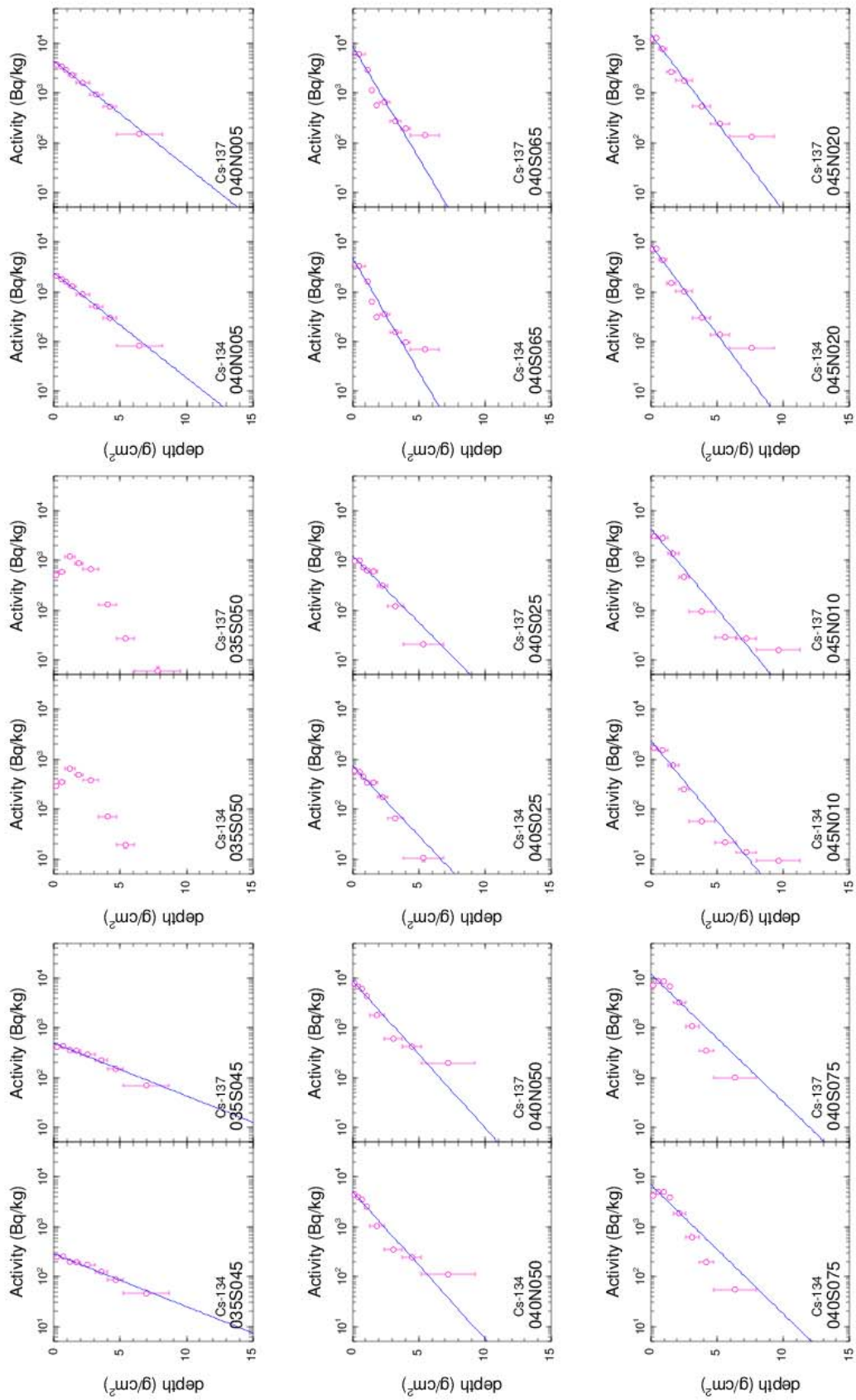


図2 各調査箇所の土壌中における放射性セシウムの深度分布-台風期後 (6)



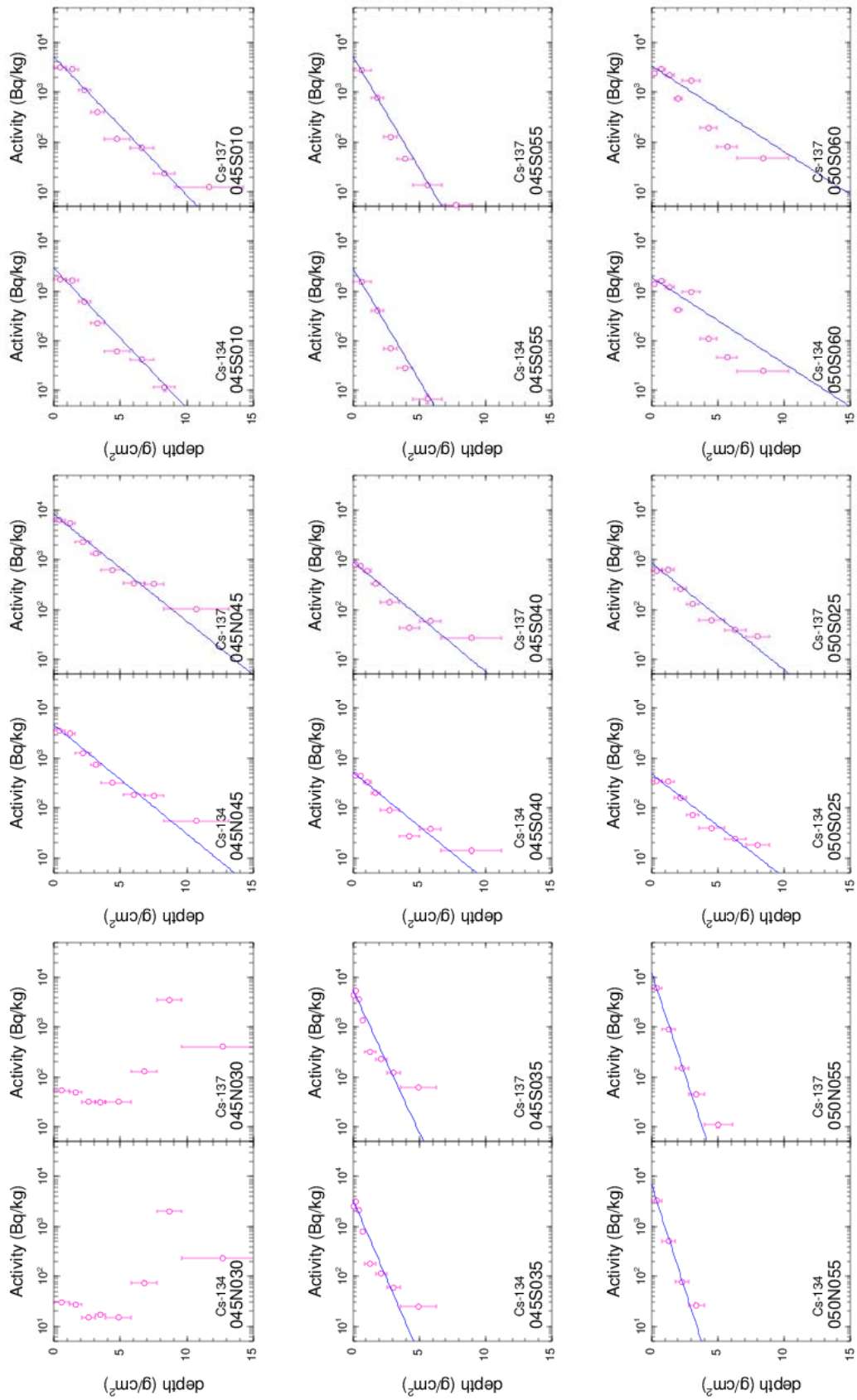


図2 各調査箇所の土壌中における放射性セシウムの深度分布-台風期後 (7)



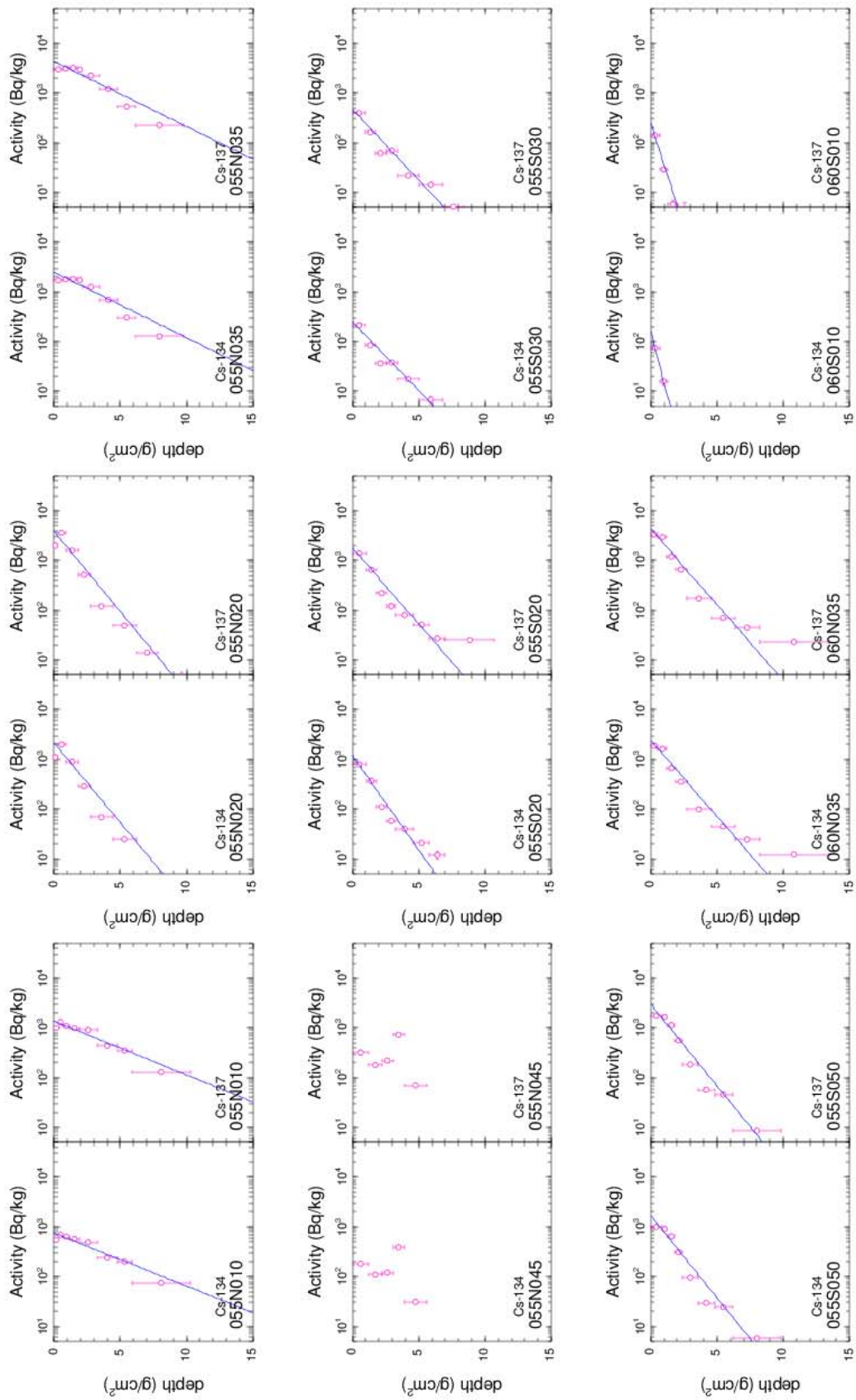


図2 各調査箇所の土壌中における放射性セシウムの深度分布-台風期後 (8)

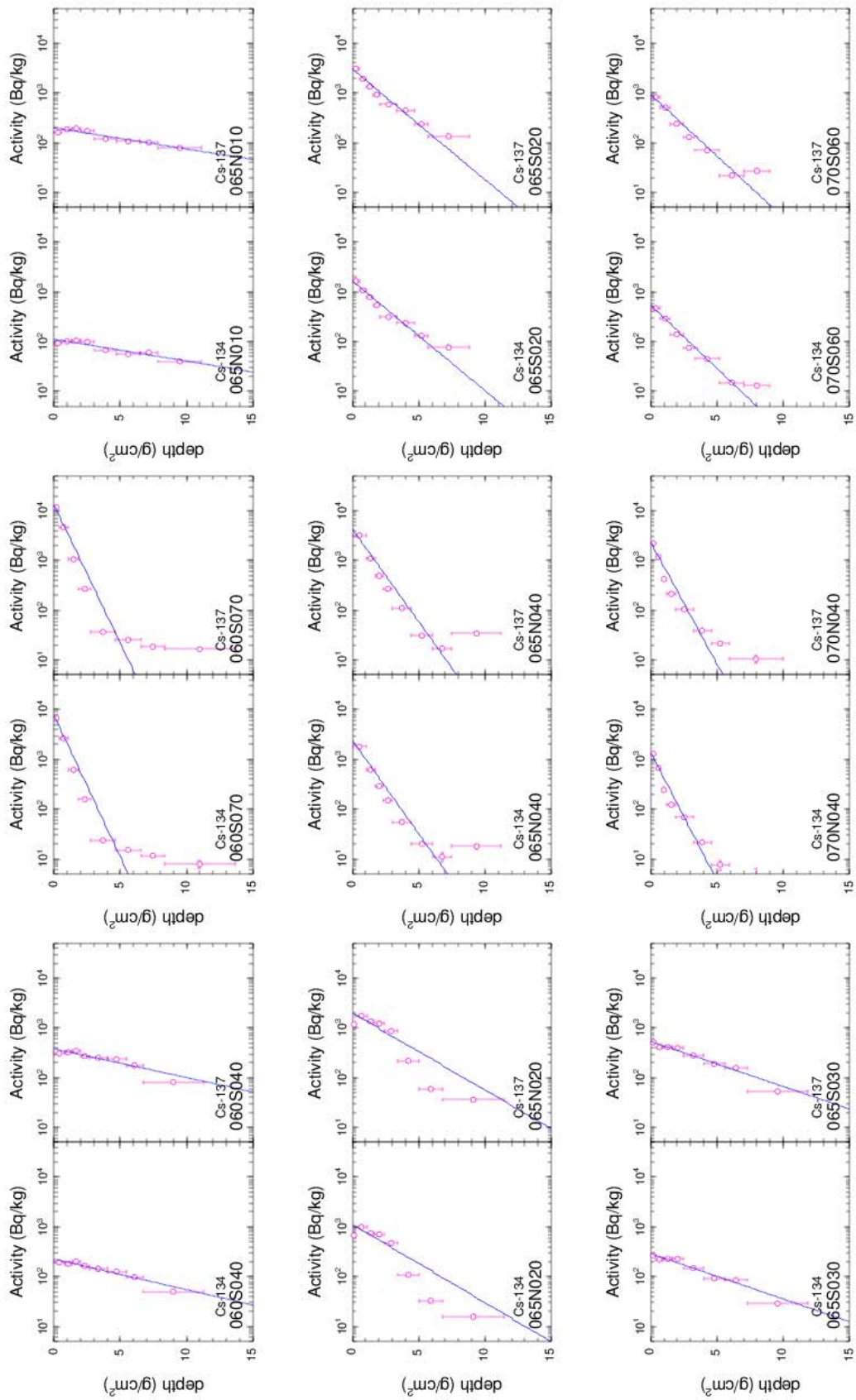


図2 各調査箇所の土壌中における放射性セシウムの深度分布-台風期後 (9)

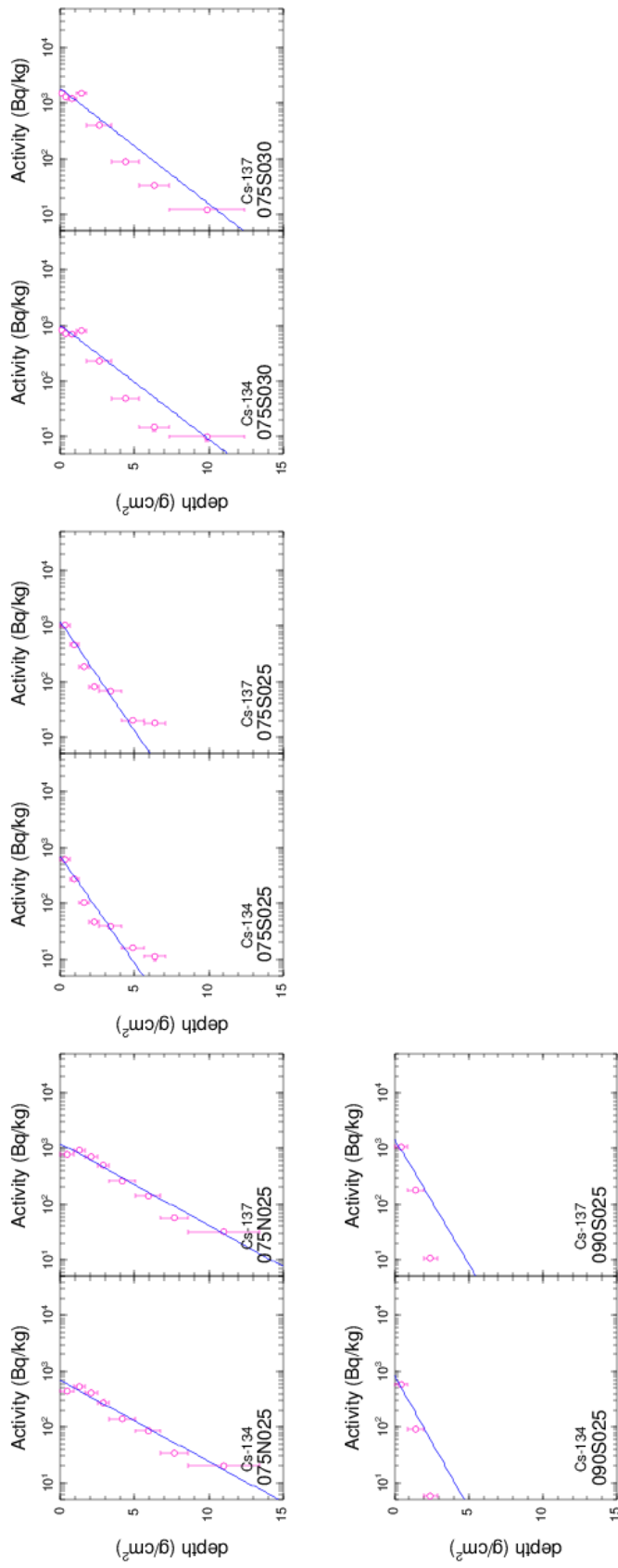


図2 各調査箇所の土壌中における放射性セシウムの深度分布-台風期後 (10)